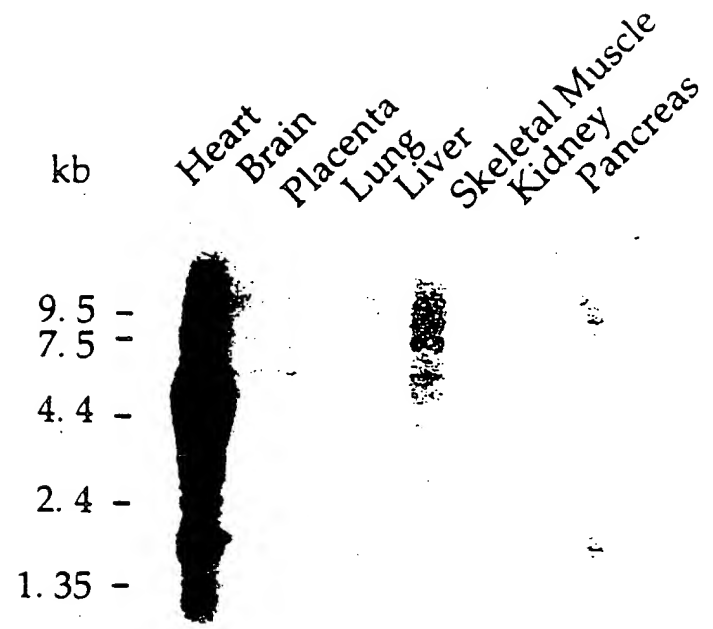


## FIGURE 1



**FIGURE 2**

## ClustalW analysis of VSHK1 with chemokine receptors

vshk1	M A L E Q N Q S T D Y Y Y - - - - -	10	20	30	40
COR6	M S G E S M N F S D V F D - - - - -			E E N E M N G T Y D Y S Q Y E L - -	
COR7	M D L G K P M K S V L V A L L V I F Q V C L C Q D E V T D D Y I G D N T T V D Y T L F E S - -			S S E D Y F V S V N T S Y Y S V D S E M L	
CXCR2	M E D F N M E S D S F E D F W K - - - - -			G E D L S N Y S Y S S T L P P F L L D A	
1					
vshk1	I C I K E D V B R E F A K V F L P V F L T I V F V I G L A G N S M V V A I Y A Y Y K K Q R T K T D V Y	60	70	80	90
COR6	L C S L Q E V B Q F S R L F V P I A Y S L I C V F G L L G N I L V V I T F A F Y K K A R S M T D V Y				
COR7	L C S K K D V R N F K A W F L P I M Y S I I C F V G L L G N G L V V L T Y I Y F K R L K T M T D T Y				
CXCR2	A P C E P E S L E I N K Y F V V I I Y A L V F L L S L L G N S L V M L V I L Y S R V G R S V T D V Y				
2					
vshk1	I L N L A V A D I L L L F T L P F W A V N A V H - G W V L G K I M C K I T S A L Y T L N F V S G M Q	110	120	130	140
COR6	L L N M A I A D I L F V L T L P F W A V S H A T G A W V F S N A T C K L L K G I Y A I N F N C G M L				
COR7	L L N L A V A D I L F L L T L P F W A Y S A A K - S W V F G V H F C K L I P A I Y K M S F F S G M L				
CXCR2	L L N L A L A D I L F A L T L P I W A A S K V N - G W I F G T F L C K V V S L L K E V N F Y S G I L				
3					
vshk1	F L A C I S I D R Y V A V T K V P S - - - Q S G V G K P C W I I C F C V W M A A I L L S I P Q L V	160	170	180	190
COR6	L L T C I S M D R Y I A I V Q A T K S F R L R S R T L P R S K I I C L V V W G L S V I I S S S T F V				
COR7	L L L C I S I D R Y V A I V Q A V S A H R H R A R V L L I S K L S C V G S A I L A T V L S I P E L L				
CXCR2	L L A C I S V D R Y L A I V H A T R - - - T L T Q K R Y L V K F I C L S I W G L S L L A L P V L L				
4					
vshk1	F Y T V N D N - - - A R C I P I F P R Y L G - - - T S M K A L I Q M L E I C I G F V V P F L I M G V	210	220	230	240
COR6	F N Q K Y N T Q G S D V C E P K Y Q T V S E P - - - I R W K L L M L G L E L L F G F F I P L M F M I F				
COR7	Y S D L Q R S - - - S S E Q A M R C S L I T E H - - V E A F I T I Q V A Q M V I G F L V P L L A M S F F				
CXCR2	F R R T V Y S - - - S N V S P A C Y E D M G N N T A N W R M L L R I L P Q S F G F I V P L L I M L F				
5					
vshk1	C Y F I T A R T L M K M P N I K I S R P L K V L L T V V I V F I V T Q L P Y N I V K F C R A I D I I	260	270	280	290
COR6	C Y T F I V K T L V Q A Q N S K R H K A I R V I I A V V L V F L A C Q I P H N - M V L L V T A A N L				
COR7	C Y L V I I I R T L L Q A R N F E R N K A I K V I I A V V V V F I V F Q L P Y N G V V V L A Q T V A N F				
CXCR2	C Y G F T L R T L F K A H M G Q K H R A M R V I F A V V L I F L L C W L P Y N L V V I L A D T L M R T				
6					
vshk1	Y S L I T S C N M S K R M D I A I Q V T E S I A L F H S C L N P I I L Y V F M G A S F K N Y V M K V A	310	320	330	340
COR6	G K M N R S C Q S E K L I G Y T K T V T E V L A F L H C C L N P V I L Y A F I G Q K F R N Y F L K I L				
COR7	N I T S S T C E L S K Q L N I A Y D V T Y S L A C V R C C V N P F L Y A F I G V K F R N D I F K L F				
CXCR2	Q V I Q E T C E R R N H I D R A L D A T E I L G I L H S C L N P L I Y A F I G Q K F R H G L L K I L				
7					
vshk1	K K Y G S W R R Q R Q S V E E F P F D - - - - - S - - - E G P - T E P T S T F S I	360	370	380	390
COR6	K D L W C V R R K - Y K S S G F S C A G R Y S E N I S R Q T S E T A D N D N A S S F T M				
COR7	K D L G C L S Q E - Q L R Q W S S C R - - - - - H I R R S S M S V E A E T T T T F S P				
CXCR2	A I H G L I S K D - - - - - S L P K D - - - - - S R P S F V G S S S G H T S T T L				
8					

### FIGURE 3

Figure 4 shows a histogram of Counts versus FL1-H. The x-axis is logarithmic, ranging from  $10^0$  to  $10^4$ . The y-axis ranges from 0 to 60. A solid line represents the total distribution, while a dashed line represents the background.

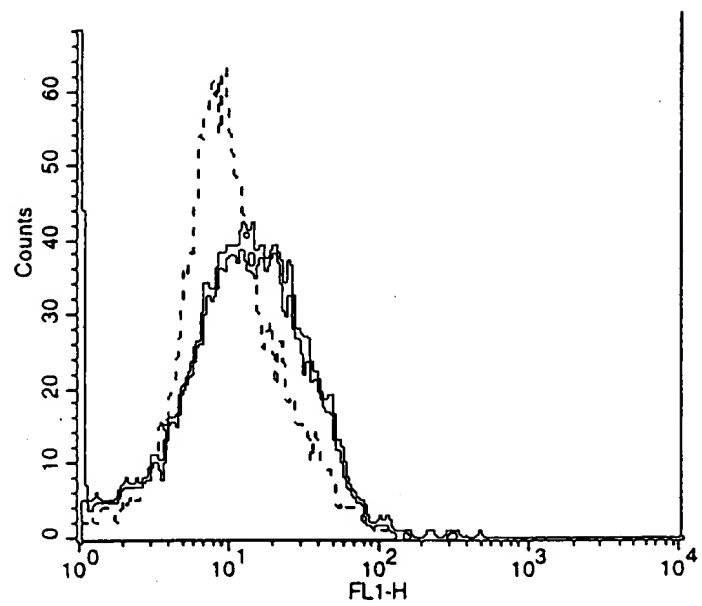


FIGURE 4